

СТРУКТУРА НЕЙТРАЛЬНЫХ АКЦЕПТОРОВ В ДИЭЛЕКТРИЧЕСКОМ La_2CuO_4

A.O. Гоголин, A.S. Иоселевич

Рассчитана схема уровней для дырки в La_2CuO_4 , связанной с акцептором, замещающим La или Cu. Дырка описывается моделью Эмери, примесный уровень считается глубоким. Изучены вибронные эффекты и условия возникновения дипольного и магнитного фрустрирующего моментов примесного состояния за счет ян-теллеровских (ЯТ) искажений.

Как следует из температурной зависимости проводимости¹, состояния носителей (дырок) в слабо легированном La_2CuO_4 локализованы. По-видимому, дырки связаны с акцепторами: ионами Sr^{2+} (или Li^{1+}), замещающими La^{3+} (или Cu^{2+}). Поскольку радиус состояния сравним с периодом решетки¹, хорошим приближением может оказаться модель глубокой примеси ($V_1 - V_2 \gg t$, где $V_{1,2}$ – потенциалы на ближайших к примеси и следующих за ними кислородных узлах), в которой дырка движется по четырем ближайшим кислородным узлам, взаимодействуя с четырьмя спинами Cu^{2+} (рис. 1).

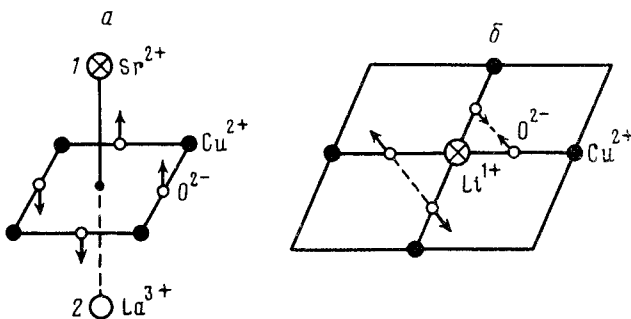


Рис. 1. а – Геометрия окружения примеси Sr, замещающей La; 1 и 2 – два возможных положения Sr; стрелками показано ромбическое E -искажение; б – то же для примеси Li, замещающей Cu; показано дипольно-активное E_u -искажение

Электронные состояния. Сначала решим задачу о состояниях акцептора в жесткой решетке. Гамильтониан дырки, взаимодействующей со спинами Cu^{2+} имеет вид для Sr:

$$\mathcal{H}^{\text{Sr}} = t \sum_{\langle ill' \rangle} \hat{a}_{l'}^\dagger \hat{P}^i a_l + \tau \sum_{\langle il \rangle} \hat{a}_l^\dagger \hat{P}^i a_l \quad (1)$$

(такой гамильтониан уже изучался Покровским и Уминым²), и

$$\mathcal{H}^{\text{Li}} = t' \sum_{l \neq l'} \hat{a}_l^\dagger \hat{a}_{l'} + \tau \sum_{\langle il \rangle} \hat{a}_l^\dagger \hat{P}^i a_l \quad (2)$$

для Li. Здесь $\hat{a}_l^\dagger, \hat{a}_l$ – дырочные операторы, \hat{P}^i – оператор Дирака, переставляющий местами спин дырки и спин i -ой меди. Суммирование по l ограничено четырьмя узлами (рис. 1), $\langle ill' \rangle$ – тройка из меди i и двух кислородов ($l \neq l'$), ближайших к этой меди; $\langle il \rangle$ – ближайшие медный и кислородный узлы. Энергия отсчитывается от V_1 . Гамильтонианы (1) и (2) получаются из модели Эмери³ в пределе большого кулоновского отталкивания на меди: t, τ – интегралы перескока с кислорода на кислород через медь ($\tau < t$ вследствие кулоновского отталкивания на кислороде); t' – туннелирование через немагнитный ион Li^{1+} .

Дырочные термы характеризуются квадратом полного спина системы: $S = 1/2, 3/2$ или $5/2$; его проекцией, и представлением точечной группы симметрии G . Сначала мы пренебрежем малыми ромбическими искажениями. Тогда, в случае примеси Sr, $G = C_{4v}$ с представлениями

A_1 , A_2 (s -типа), B_1 , B_2 (d -типа) и E (p -типа). Для Li (рис. 1б) $G = D_{4h}$, причем в плоской задаче существенны только представления A_{1g} , A_{2g} , B_{1g} , B_{2g} , и E_u .

Для примеси Sr схема уровней (рис. 2а) сходна с полученной в ². При $\tau/t > 0,1$ основным является вырожденное (это вырождение снимается только спин-орбитальным взаимодействием) низкосимметрическое состояние $^{1/2}E$, его энергия $\epsilon_{1/2}^{1/2}E = -\sqrt{7}t$ при ($t = \tau$). Низшим возбужденным состояниям в том же спиновом мультиплете отвечают энергии $\epsilon_{1/2}^{1/2}B_2 = -(\sqrt{33} - 1)t/2$ и $\epsilon_{1/2}^{1/2}B_1 = -(\sqrt{17} - 1)t/2$, причем расстояние $2\Delta \approx 0,28t$ между основным и первым возбужденным уровнями в 3 раза превышает расстояние до следующего уровня.

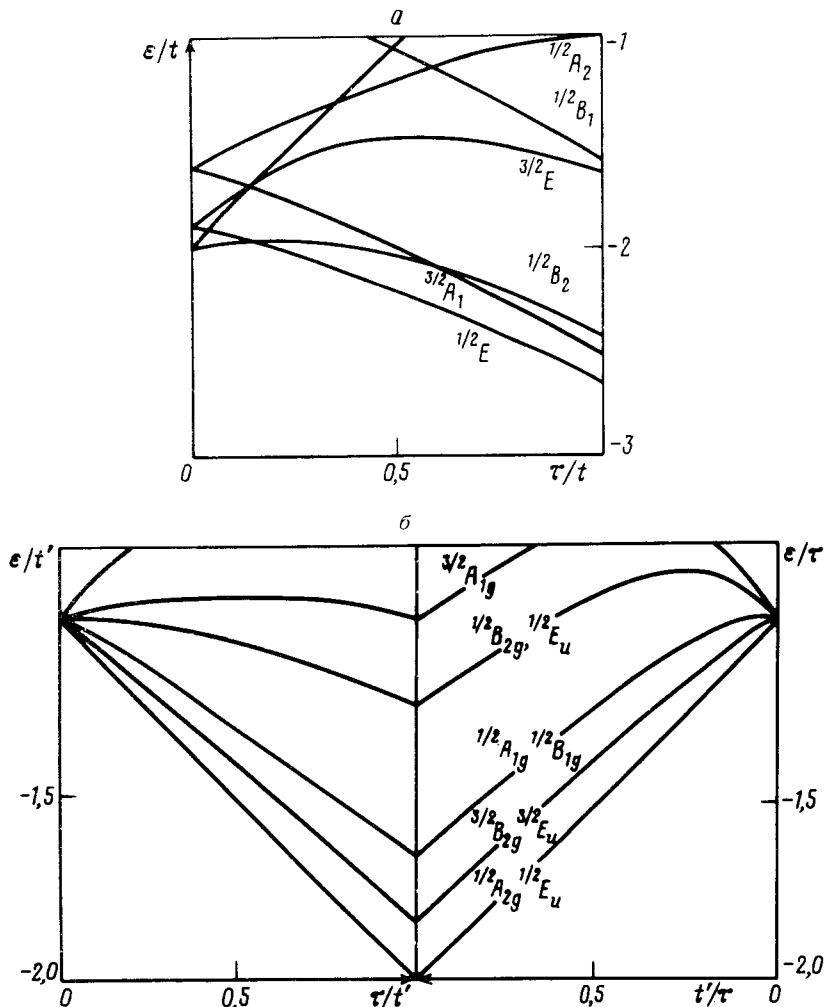


Рис. 2. а – Схема уровней для примеси Sr; б – то же для примеси Li, в левой части $\tau < t'$, в правой $\tau > t'$

Для примеси Li основное состояние сильно вырождено ($^{1/2}A_{2g}$ и $^{1/2}E_u$ -термы). Вырождение между термами, отвечающими разным представлениям (рис. 2б) обусловлено тем, что истинная группа симметрии гамильтониана (2) есть группа перестановок P_4 , более широкая, чем пространственная. Учет слабого прямого туннелирования между кислородными узлами снимает дополнительную симметрию и приводит к слабому расщеплению между термами.

Вибронные эффекты. Перейдем к учету искажений решетки. Сначала обсудим примесь Sr. Поскольку основное состояние $^{1/2}E$ вырождено, Sr является ЯТ-ионом с активными модами

B_1 и B_2 . Кроме того, благодаря малости Δ возможен псевдоэффект Яна–Теллера (ПЯТ) на уровнях $^{1/2}E$ и $^{1/2}B_2$, смешиваемых E -колебаниями. Наиболее существенной, по-видимому, должна быть мягкая локальная мода Q_α ($Q_{1,2}$ – углы поворота кислородного плакета относительно осей [110] и [1 $\bar{1}$ 0], рис. 1a). Она непосредственно связана с кристаллической Σ_4 -модой (ромбической). Ромбическая мода, мягкая в окрестности X -точки, ответственна за структурный переход в La_2CuO_4 ⁴. При учете вибронного взаимодействия уровней $^{1/2}E$ и $^{1/2}B_2$ только с Q_α адиабатический потенциал может быть найден стандартным способом⁵: $\epsilon(Q) = \frac{1}{2}KQ^2 - \sqrt{\Delta^2 + V^2 Q^2}$, где K – эффективная жесткость, $Q^2 = Q_1^2 + Q_2^2$, V – линейная константа вибронного взаимодействия. При условии:

$$V^2/K\Delta > 1, \quad (3)$$

симметричная конфигурация $Q = 0$ становится неустойчивой – возникает желоб минимумов в (Q_1, Q_2) пространстве с радиусом $Q_{JT} = (V^2/K^2 - \Delta^2/V^2)^{1/2}$. Разумеется, учет нелинейности и слабого взаимодействия с другими уровнями приведет к гофрировке желоба – возникнут четыре минимума.

Оценим значения параметров, входящих в неравенство (3). Оценка $t \sim 0.5 \pm 1$ эВ отвечает $\Delta \approx 0.14t \sim 0.1$ эВ. Грубая "ионная" оценка вибронной константы: $V \sim 1$ эВ. В результате величина $V^2/K\Delta \sim 10$, т.е. неравенство (3) выполняется с большим запасом (сильный НЯТ). Это не удивительно, т.к. сильные ЯТ искажения наблюдаются во многих родственных веществах⁵.

При $T < 500$ К La_2CuO_4 имеет ромбическую симметрию. Однако при сильном ПЯТ величина $Q_{JT} \gg Q_0 \approx 0.05$ – угла поворота кислородных октаэдров в ромбической фазе. Тогда ромбичность играет роль только слабого возмущения, стабилизирующего ЯТ искажения. ПЯТ можно интерпретировать, как локальное усиление ромбичности вблизи нейтральной примеси Sr.

Благодаря искажению решетки Q_α примесь преобретает дипольный момент d , а также магнитный фрустрирующий момент $\vec{\mu}$ ⁷:

$$\vec{\mu} = f(VQ/\Delta) \sum_{\alpha=1}^2 \vec{\mu}_\alpha^{(0)} Q_\alpha / Q; \\ f(x) = x(1+x^2)^{-1/2}, \quad \vec{\mu}_\alpha^{(0)} = (^{1/2}B_2 | \sum_i \kappa_i (\mathbf{S}\mathbf{S}_i) \mathbf{r}_i | ^{1/2} E \alpha), \quad (4)$$

где \mathbf{S} – полный спин состояния, $\kappa_i = \pm 1$ на разных медных подрешетках ($\vec{\mu} \rightarrow -\vec{\mu}$ при замене подрешеток или при переходе Sr из положения 1 в 2, рис. 1a). В тетрагональной фазе $d = 0$, $\vec{\mu} = 0$ ². В ромбической фазе, даже без ЯТ искажений (т.е. при $Q = Q_0$) μ составляет уже заметную часть от $\mu_{max} \equiv |\vec{\mu}_\alpha^{(0)}| \sim 1 \text{ \AA}$, т.к. $f \sim 0.5$ при $V/\Delta \sim 10$. При сильном ПЯТ $\mu = \mu_{max}$.

В случае примеси Li, кроме мод, активных внутри $^{1/2}E$ -уровня, ЯТ модой является также E_u -мода (рис. 1б), перемешивающая $^{1/2}A_{2g}$ и $^{1/2}E_u$ -состояния. Она слабо связана с ромбической Σ_4 -модой. Результирующее ЯТ искажение не стабилизируется в ромбической фазе и имеет меньшую величину, чем в случае Sr, т.к. формируется из более жестких мод. При учете расщепления 2Δ между $^{1/2}A_{2g}$ и $^{1/2}E_u$ -уровнями порог ПЯТ по величине Δ лежит, из-за большей жесткости K , значительно ниже, чем в случае Sr. Мягкая Q_α -мода симметрии E_g , рассмотренная выше, вообще не активна, поэтому ромбическое искажение Q_0 не приводит к возникновению d и $\vec{\mu}$ – они связаны только с ЯТ искажениями. Если, вследствие расщепления, эти искажения окажутся подавленными, то будут подавлены и величины d и $\vec{\mu}$.

Интересно, что в задаче о состоянии нейтрального донора Ce в Nd_2CuO_4 в которой электрон движется по плакету из четырех медей, из-за большой щели $2\Delta = 2t$, разделяющей основное и первое возбужденное состояния, вибронные эффекты должны быть слабы, причем $d = \vec{\mu} = 0$.

Выше мы не учитывали влияние высоколежащих уровней. Это оправдано, если ЯТ энергия $V^2/K\Delta \lesssim t$, в соответствии с приведенными оценками. Если же $V^2/K\Delta \gg 6t$ – ширины муль-

типлета с $S = 1/2$ (т.е. при аномально малом t), то возникает полярная картина с дыркой, автолокализованной на одном кислородном узле, как в модели Аарони и др.⁸.

В заключение отметим, что полученное большое значение μ для примеси Sr в La_2CuO_4 позволяет связать резкую концентрационную зависимость температуры Нееля T_N с механизмом дальнодействующих дипольных фрустраций⁷. Более слабое влияние на T_N примесей Li в La_2CuO_4 и примесей Ce в Nd_2CuO_4 может свидетельствовать об отсутствии сильного ПЯТ в этих случаях.

Авторы благодарны Л.И.Глазману, В.Л.Покровскому и Г.В.Уймину за обсуждение.

Литература

1. *Kastner M.A. et al.* Phys. Rev. B, 1988, **37**, 111.
2. *Pokrovsky V.L., Uimin G.V.* Physica C, 1989, **160**, 323.
3. *Emery V.J.* Phys. Rev. Lett., 1987, **58**, 2794.
4. *Birgeneau R.J., Shirane G.* Physical Properties of High Temperature Superconductors, Ed. D.M.Ginsberg. World Scientific Publishing, 1989.
5. *Берсукер И.Б.* Эффект Яна—Теллера и вибронные взаимодействия в современной химии. М.: Наука, 1987, гл. 2, 5.
6. *Thurston T.R. et al.* Phys. Rev. B, 1989, **39**, 4327.
7. *Глазман Л.И., Иослевич А.С.* Письма в ЖЭТФ, 1989, **49**, 503.
8. *Aharony A. et al.* Phys. Rev. Lett., 1988, **60**, 1330.

Физический институт им. П.Н.Лебедева
Академии наук СССР

Институт теоретической физики им. Л.Д.Ландау
Академии наук СССР

Поступила в редакцию
3 октября 1989 г.